

La funzione di ambiguità

Maria S. Greco

Corso di Fondamenti di Radar

Ing. delle Telecomunicazioni

Dicembre 2014

Definizione e principali proprietà

Normalizziamo l'involuppo del segnale complesso in modo che la sua energia sia unitaria:

$$x_u(t) = \frac{x(t)}{\sqrt{E_x}}$$

$$A(\tau, \nu) = \left| \int_{-\infty}^{+\infty} x_u(t) x_u^*(t - \tau) \exp(j2\pi\nu t) dt \right|$$

Risulta evidente dalla definizione che la funzione di ambiguità rappresenta il modulo dell'uscita del filtro adattato quando l'ingresso è una versione shiftata in frequenza del segnale trasmesso, cioè

$$x_u(t) \exp(j2\pi\nu t)$$

La funzione di ambiguità è funzione di 2 variabili: il ritardo relativo τ e lo shift frequenziale ν .

Definizione e principali proprietà

La funzione di ambiguità gode di queste proprietà:

1) Valor massimo: $A(\tau, \nu) \leq A(0, 0) = E = 1$

2) Volume costante: $V = \int_{-\infty}^{+\infty} \int_{-\infty}^{+\infty} A^2(\tau, \nu) d\tau d\nu = E^2 = 1$

3) Simmetria rispetto all'origine: $A(-\tau, -\nu) = A(\tau, \nu)$

4) Effetto dell'FM lineare: $u(t) \Leftrightarrow A(\tau, \nu) \quad u(t) \exp(j\pi k t^2) \Leftrightarrow A(\tau, \nu - k\tau)$

Dimostriamo la prima proprietà. Scriviamo

$$A(\tau, \nu)^2 = \left| \int_{-\infty}^{+\infty} x_u(t) x_u^*(t - \tau) \exp(j2\pi\nu t) dt \right|^2$$

Per la disuguaglianza di Schwartz si ha

$$\begin{aligned} A(\tau, \nu)^2 &\leq \int_{-\infty}^{+\infty} |x_u(t)|^2 dt \int_{-\infty}^{+\infty} |x_u^*(t - \tau) \exp(j2\pi\nu t)|^2 dt \\ &= \int_{-\infty}^{+\infty} |x_u(t)|^2 dt \int_{-\infty}^{+\infty} |x_u^*(t - \tau)|^2 dt \end{aligned}$$

Ciascun integrale è proprio uguale all'energia del segnale (unitaria per la normalizzazione) quindi

$$A(\tau, \nu) \leq E = 1$$

L'uguaglianza si ha quando i due segnali nei due integrali sono uguali, cioè per $\tau=0$ e $\nu=0$.

La **seconda proprietà** è la più lunga da dimostrare (v. Richards, p. 172) ma è fondamentale. Questo principio di «conservazione dell'energia» stabilisce che non è possibile rimuovere energia da una specifica zona tempo-frequenza senza aggiungerla da qualche altra parte.

Dimostriamo **la terza proprietà**.

$$\begin{aligned} A(-\tau, -\nu) &= \left| \int_{-\infty}^{+\infty} x_u(t) x_u^*(t + \tau) \exp(-j2\pi\nu t) dt \right| \\ &= \left| \exp(j2\pi\nu\tau) \int_{-\infty}^{+\infty} x_u(s - \tau) x_u^*(s) \exp(-j2\pi\nu s) ds \right| \\ &= \left| \exp(j2\pi\nu\tau) A^*(\tau, \nu) \right| \\ &= A(\tau, \nu) \end{aligned}$$

Funzione di ambiguità di un impulso rettangolare

$$x_u(t) = \frac{1}{\sqrt{T_p}} \text{rect}\left(\frac{t}{T_p}\right)$$

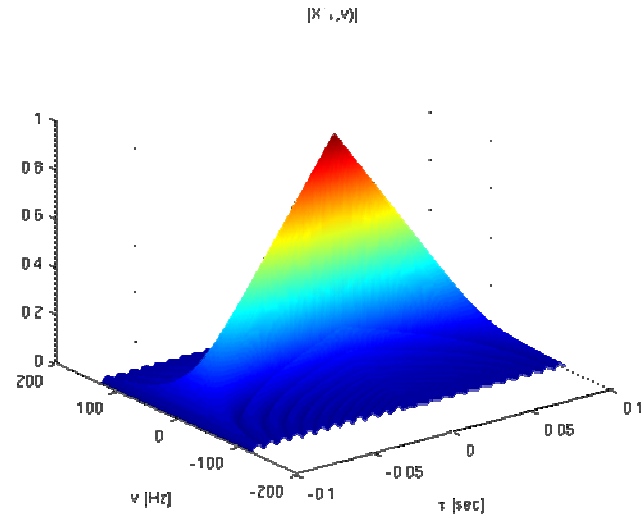
Applichiamo la definizione di funzione di ambiguità per $\tau > 0$

$$\begin{aligned} A(\tau, \nu) &= \left| \int_{-\infty}^{+\infty} x_u(t) x_u^*(t - \tau) \exp(j2\pi\nu t) dt \right| \\ &= \left| \int_{-T_p/2 + \tau}^{+T_p/2} \frac{1}{T_p} \exp(j2\pi\nu t) dt \right| = \left| \frac{\sin(\pi\nu(T_p - \tau))}{T_p \pi\nu} \right| \end{aligned}$$

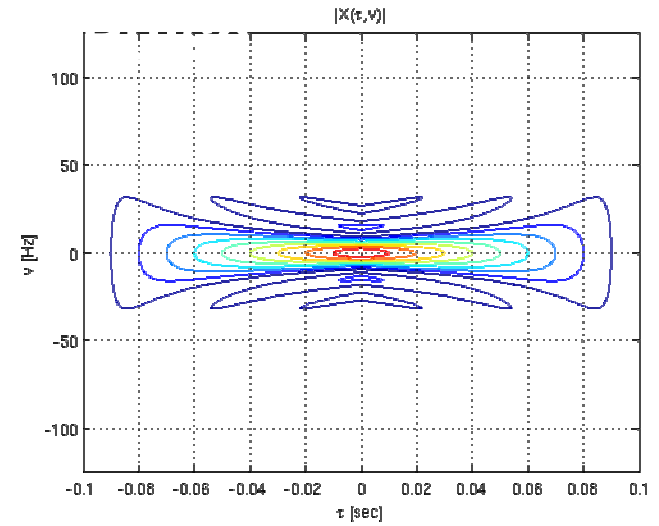
Per $\tau > 0$ si ottiene la stessa espressione, ma funzione di $(T_p + \tau)$. Quindi, in conclusione, per un impulso rettangolare la funzione di ambiguità è data da

$$A(\tau, \nu) = \left| \frac{\sin(\pi\nu(T_p - |\tau|))}{T_p \pi\nu} \right| \quad |\tau| \leq T_p$$

$$T_p = 0.1 \text{ s}$$

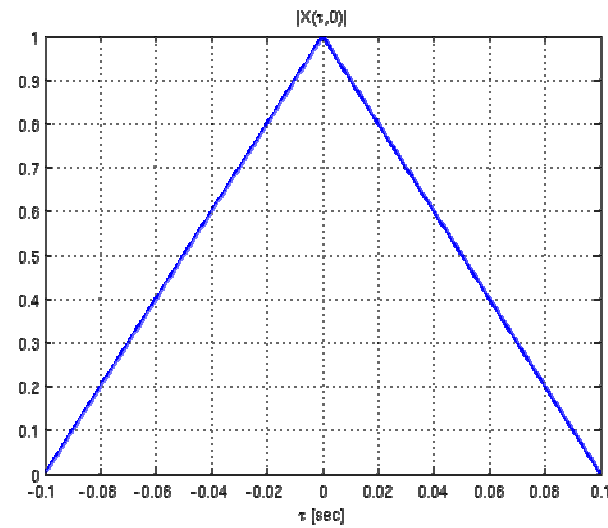


Absolute value of the CAF, 3D-graph.

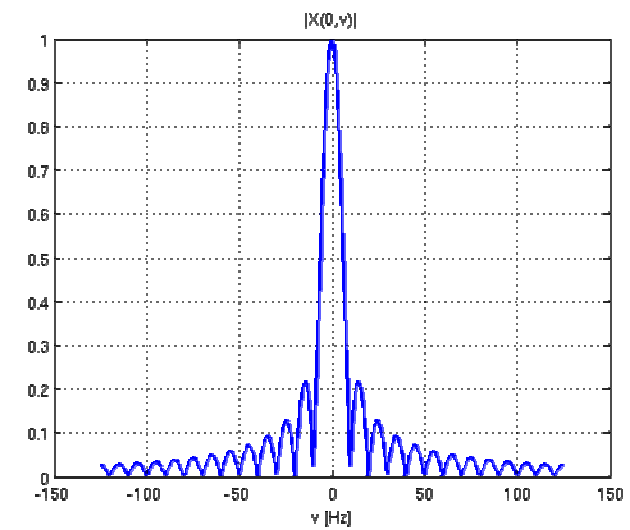


Absolute value of the CAF, contour-plot.

$$A(\tau, 0) = \left| \frac{T_p - |\tau|}{T_p} \right|$$



Absolute value of the CAF, 0-Doppler Cut.



Absolute value of the CAF, 0-Delay Cut.

$$A(0, \nu) = \left| \frac{\sin(\pi \nu T_p)}{T_p \pi \nu} \right|$$

AF di un chirp

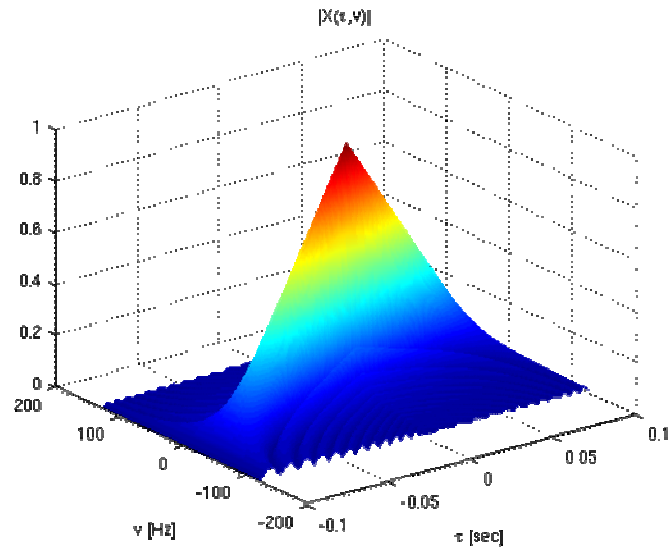
■ LFM pulse (chirp):

$$x(t) = \frac{1}{\sqrt{T_p}} \exp(j\pi kt^2) \cdot \text{rect}\left(\frac{t}{T_p}\right), \quad \text{where } k = \frac{B}{T_p}$$

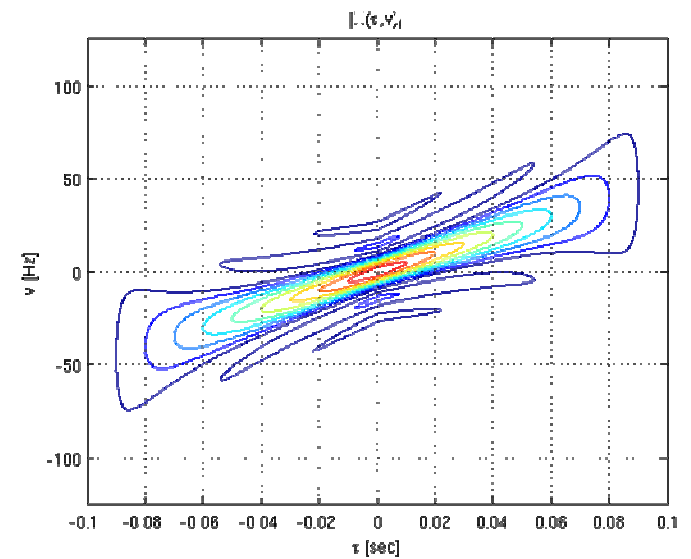
La frequenza istantanea è data da $f(t)=kt$, quindi $-B/2 < f(t) < B/2$

$$A(\tau, \nu) = \left| \left(1 - \frac{|\tau|}{T_p}\right) \frac{\sin\left[\pi T_p (\nu - k\tau) \left(1 - \frac{|\tau|}{T_p}\right)\right]}{\pi T_p (\nu - k\tau) \left(1 - \frac{|\tau|}{T_p}\right)} \right|, \quad |\tau| < T_p$$

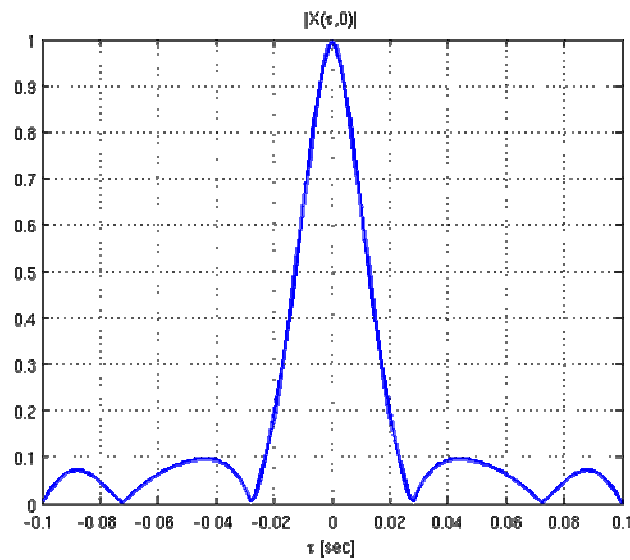
$T_p = 0.1\text{s},$
 $B = 5/T_p$
 $= 50\text{Hz}$



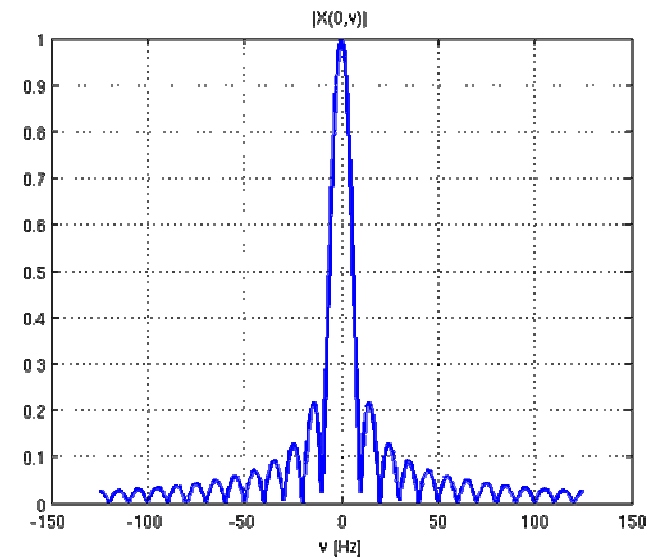
Absolute value of the CAF, 3D-graph.



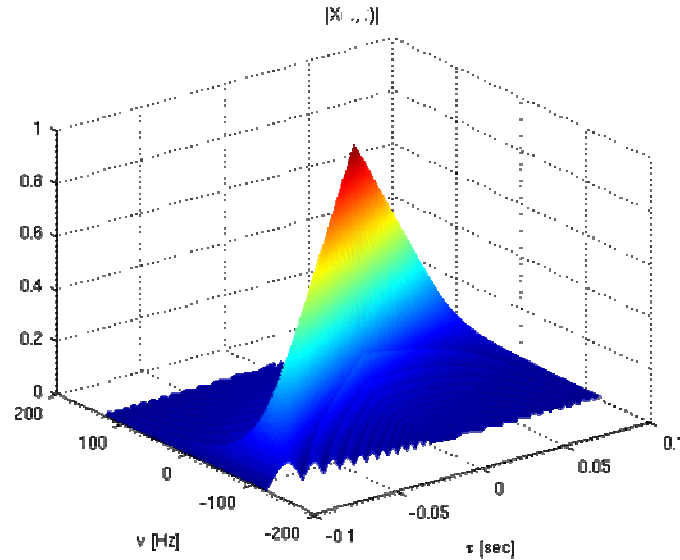
Absolute value of the CAF, contour-plot.



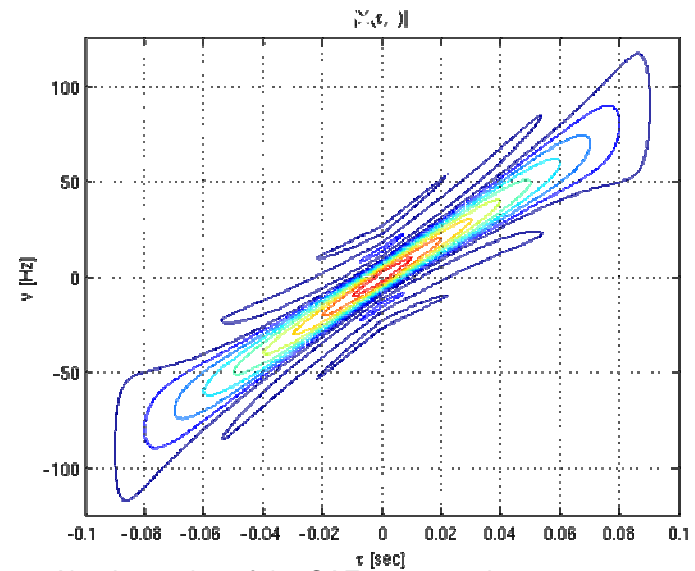
Absolute value of the CAF, 0-Doppler Cut.



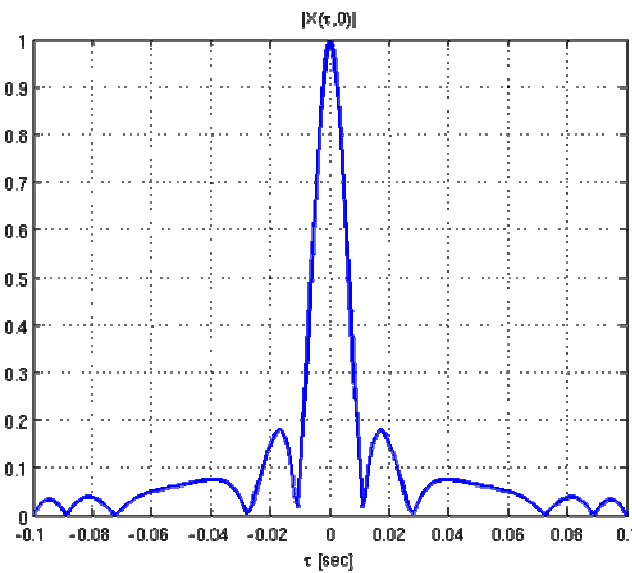
$T_p = 0.1\text{s}$,
 $B = 10/T_p$
 $= 100\text{Hz}$



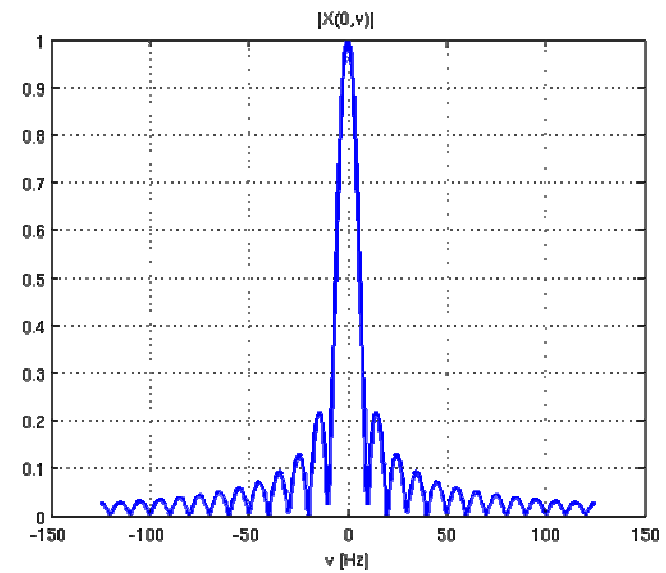
Absolute value of the CAF, 3D-graph.



Absolute value of the CAF, contour-plot.



Absolute value of the CAF, 0-Doppler Cut.



Absolute value of the CAF, 0-Delay Cut.

Funzione di ambiguità di un treno di impulsi

Indichiamo con $x(t)$ il treno di impulsi

$$x(t) = \sum_{m=0}^{M-1} x_p(t - mT_r)$$

Ricaviamone la funzione di ambiguità.

$$\begin{aligned} A(\tau, \nu) &= \left| \int_{-\infty}^{+\infty} \sum_{m=0}^{M-1} x_p(t - mT_r) \sum_{n=0}^{M-1} x_p^*(t - \tau - nT_r) \exp(j2\pi\nu t) dt \right| \\ &= \left| \sum_{m=0}^{M-1} \sum_{n=0}^{M-1} \int_{-\infty}^{+\infty} x_p(t - mT_r) x_p^*(t - \tau - nT_r) \exp(j2\pi\nu t) dt \right| \end{aligned}$$

Facciamo la sostituzione $s = t - mT_r$

$$A(\tau, \nu) = \left| \sum_{m=0}^{M-1} \exp(j2\pi\nu mT_r) \sum_{n=0}^{M-1} \int_{-\infty}^{+\infty} x_p(s) x_p^*(s - \tau - nT_r + mT_r) \exp(j2\pi\nu s) ds \right|$$

Chiamiamo ora con $\hat{A}_p(\tau, \nu)$ la funzione di ambiguità complessa del singolo impulso (cioè senza valore assoluto) e otteniamo

$$A(\tau, \nu) = \left| \sum_{m=0}^{M-1} \exp(j2\pi\nu m T_r) \sum_{n=0}^{M-1} \hat{A}_p(\tau - (m-n)T_r, \nu) \right|$$

Lavorare con la doppia sommatoria non è per niente facile. E' possibile però dimostrare (Richards, p. 184) che vale la relazione

$$A(\tau, \nu) = \left| \sum_{m=-(M-1)}^{M-1} \hat{A}_p(\tau - mT_r, \nu) \exp(j2\pi\nu(M-1+m)T_r) \frac{\sin(\pi\nu(M-|m|T_r))}{\sin(\pi\nu T_r)} \right|$$

Osservando che la durata della funzione di ambiguità del singolo impulso è T_r , se, come succede sempre, $T_r > 2T_p$, allora le varie repliche della $\hat{A}_p(\tau, \nu)$ non si sovrappongono e

$$A(\tau, \nu) = \sum_{m=-(M-1)}^{M-1} A_p(\tau - mT_r, \nu) \left| \frac{\sin(\pi\nu(M-|m|T_r))}{\sin(\pi\nu T_r)} \right|$$

AF di M impulsi coerenti non modulati (bed of nails)

$$x(t) = \frac{1}{\sqrt{MT_p}} \sum_{m=0}^{M-1} \text{rect}\left(\frac{t - mT_r}{T_p}\right), \quad T_p = \text{pulse duration}$$

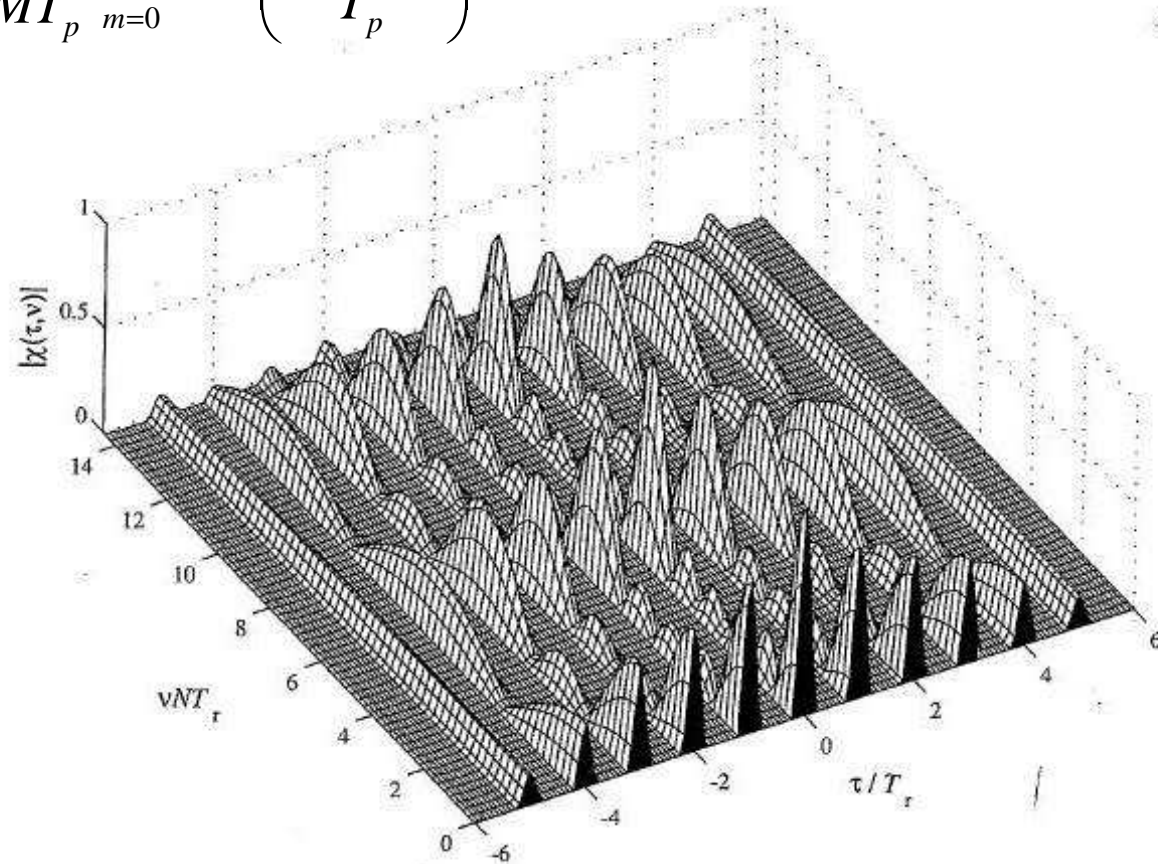


FIGURE 4.17 Partial ambiguity function of a coherent train of $N = 6$ pulses.

AF di M impulsi coerenti non modulati (bed of nails)

$$A(\tau, \nu) = \frac{1}{M} \sum_{m=-(M-1)}^{M-1} A_S(\tau - mT_r, \nu) \left| \frac{\sin[\pi\nu(M - |m|)T_r]}{\sin[\pi\nu T_r]} \right|, \quad |\tau| < MT_r$$

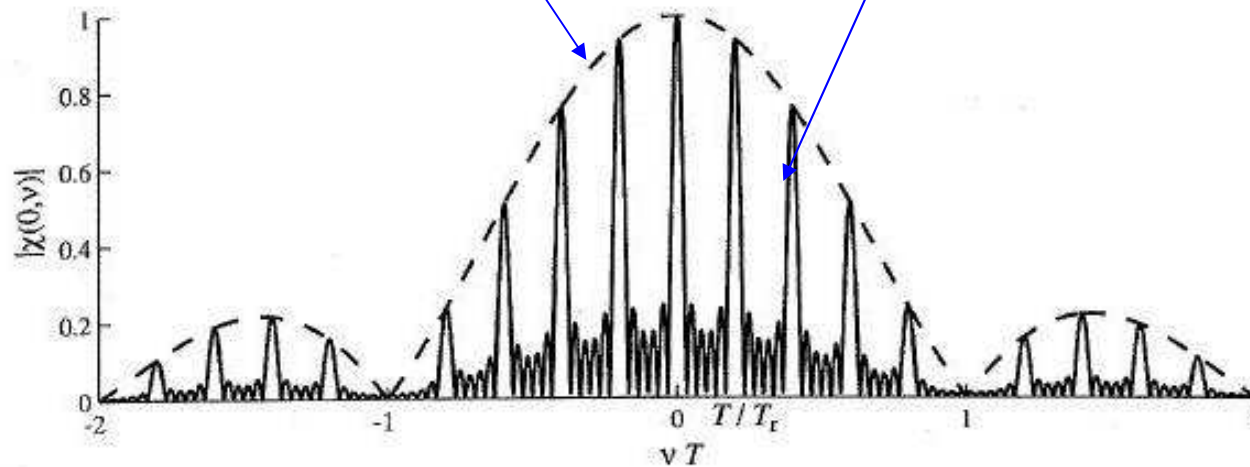
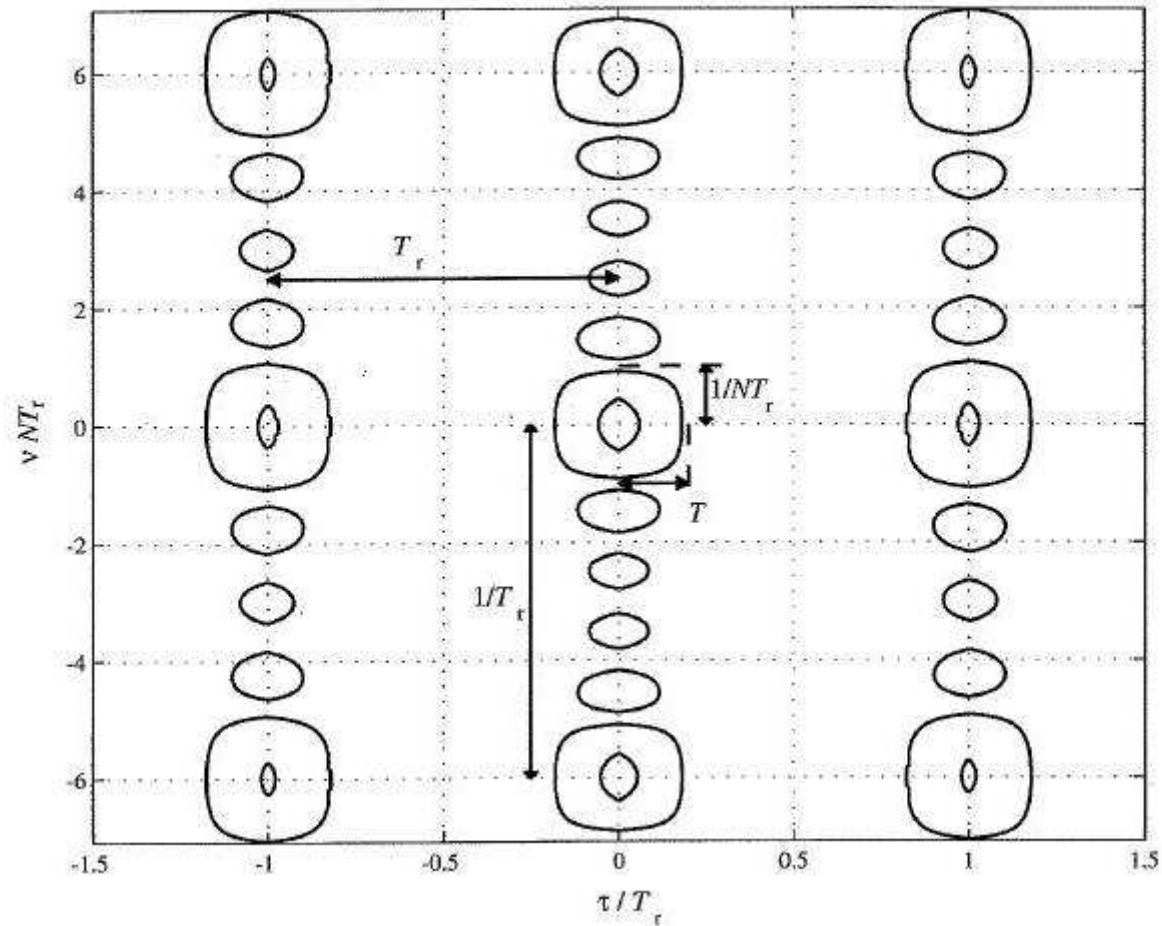


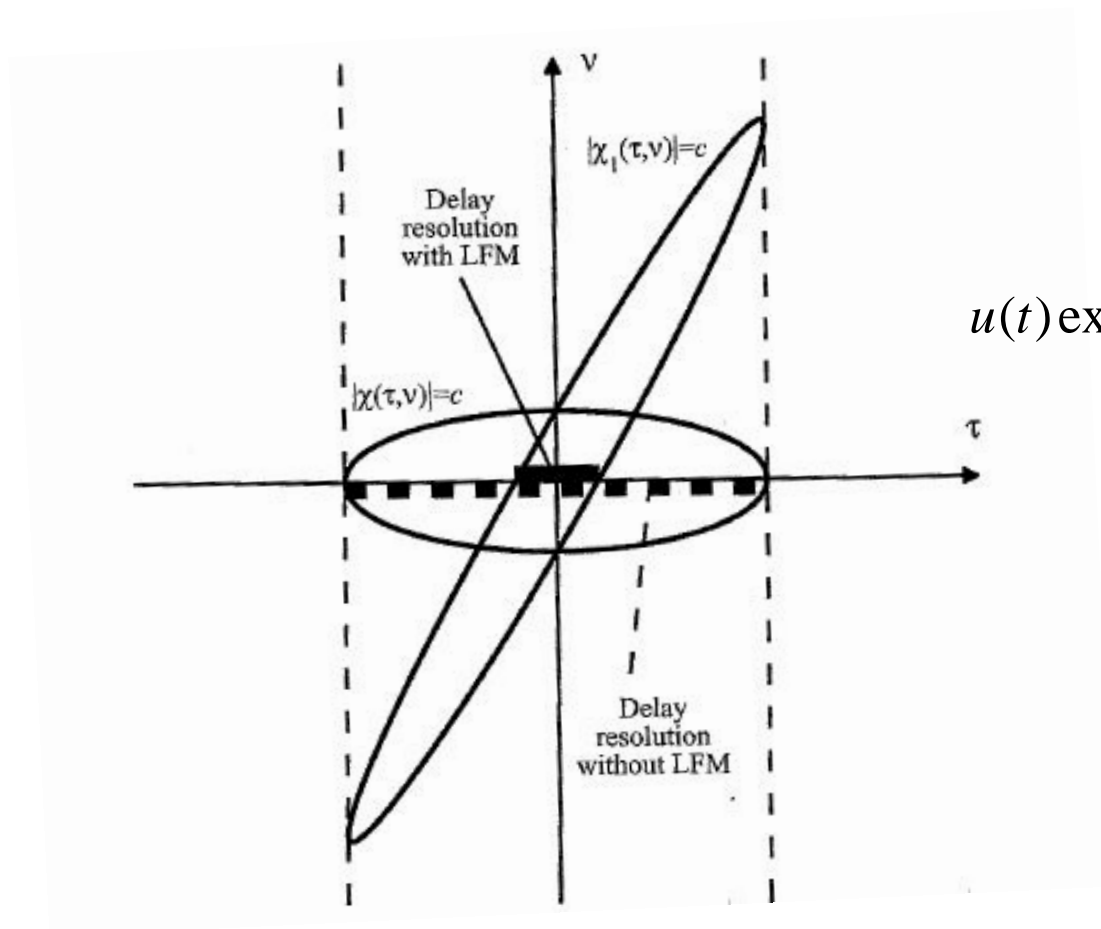
FIGURE 4.19 Zero-delay cut of the ambiguity function of six pulses.

AF di M impulsi coerenti non modulati (bed of nails)



La risoluzione in distanza è controllata dalla durata dell'impulso T , la risoluzione in frequenza dal tempo di integrazione MT_r

AF di un Chirp e risoluzione in range



$$u(t) \exp(j\pi kt^2) \Leftrightarrow A(\tau, \nu - k\tau)$$

Improved delay/range resolution by linear_FM shearing